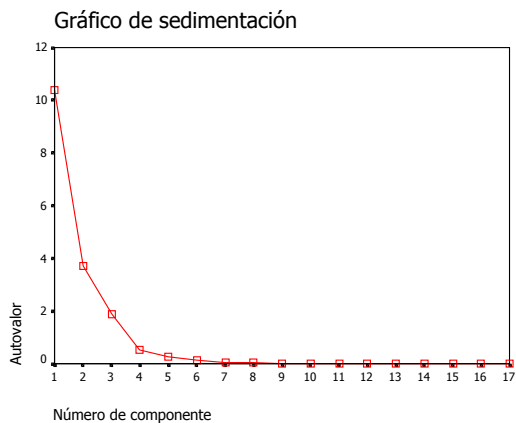


Annex G: Anàlisi de Components Principals

1.- Anàlisi de components principals (ACP) per als nivells de PCDD/Fs en sòls

Componente	Total	Autovalores iniciales		Sumas de las saturaciones		
		% de la varianza	% acumulado	Total I	% de la varianza	% acumulado
1	10.40	61.16	61.16	10.40	61.16	61.16
2	3.69	21.73	82.88	3.69	21.73	82.88
3	1.86	10.94	93.82	1.86	10.94	93.82
4	0.53	3.09	96.92			
5	0.27	1.59	98.51			
6	0.14	0.85	99.35			
7	0.03	0.18	99.54			
8	0.02	0.14	99.68			
9	0.02	0.12	99.81			
10	0.01	0.07	99.87			
11	0.01	0.05	99.92			
12	0.01	0.03	99.95			
13	0.00	0.02	99.97			
14	0.00	0.02	99.99			
15	0.00	0.01	100.00			
16	0.00	0.00	100.00			
17	0.00	0.00	100.00			



Matriz de transformación de las componentes

Componente	1	2	3
1	.856	.379	.353
2	-.209	.876	-.435
3	-.474	.298	.829

Método de extracción: Análisis de componentes principales.

Método de rotación: Normalización Varimax con Kaiser.

Matriz de componentes rotados^a

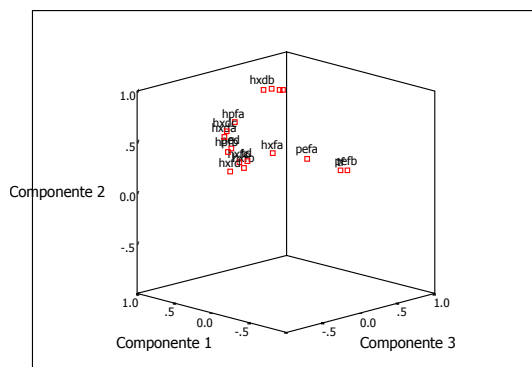
	Componente		
	1	2	3
TD	.793	.103	.280
PED	.934	.216	.191
HXDA	.852	.374	2.765E-02
HXDB	.341	.939	4.070E-02
HXDC	.839	.432	3.481E-02
HPDC	9.090E-02	.992	1.246E-02
OC	5.369E-02	.993	1.363E-02
TF	.215	-6.771E-03	.952
PEFA	.537	7.196E-02	.830
PEFB	.133	1.075E-02	.959
HXFA	.771	.128	.586
HXFB	.915	-1.955E-03	.356
HXFC	.905	6.751E-02	.283
HXFD	.958	-1.813E-02	.209
HPFA	.841	.499	.148
HPFB	.922	.199	.144
OF	.229	.970	2.838E-02

Método de extracción: Análisis de componentes principales.

Método de rotación: Normalización Varimax con Kaiser.

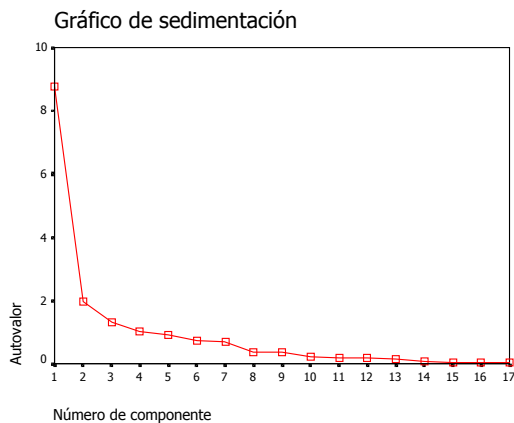
a. La rotación ha convergido en 6 iteraciones.

Gráfico de componentes en espacio rotado



2.- Anàlisi de components principals (ACP) per als nivells de PCDD/Fs en herbes.

Componente	Total	Autovalores iniciales		Sumas de las saturaciones		
		% de la varianza	% acumulado	Total I	% de la varianza	% acumulado
1	8.76	51.56	51.56	8.76	51.56	51.56
2	1.97	11.59	63.14	1.97	11.59	63.14
3	1.30	7.64	70.78	1.30	7.64	70.78
4	1.01	5.95	76.74	1.01	5.95	76.74
5	0.93	5.44	82.18			
6	0.73	4.27	86.45			
7	0.68	3.98	90.42			
8	0.38	2.23	92.65			
9	0.35	2.06	94.70			
10	0.23	1.33	96.04			
11	0.20	1.15	97.18			
12	0.17	1.03	98.21			
13	0.14	0.80	99.01			
14	0.06	0.36	99.37			
15	0.05	0.32	99.69			
16	0.03	0.19	99.87			
17	0.02	0.13	100.00			



Matriz de transformación de las componentes

Componente	1	2	3	4
1	.700	.527	.472	.099
2	-.023	.057	-.233	.970
3	.314	-.832	.429	.160
4	-.641	.165	.734	.151

Método de extracción: Análisis de componentes principales.

Método de rotación: Normalización Varimax con Kaiser.

Matriz de componentes rotados^a

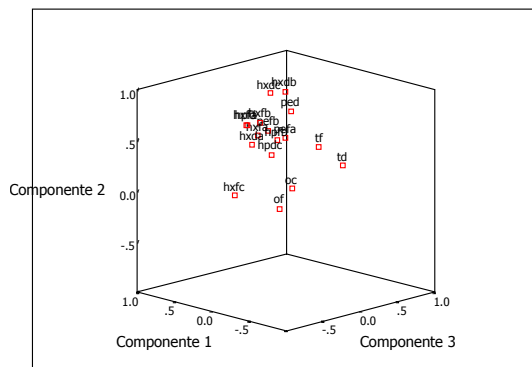
	Componente			
	1	2	3	4
TD	.120	5.469E-02	.886	2.761E-02
PED	.422	.616	.491	9.495E-02
HXDA	.723	.265	.269	.182
HXDB	.156	.924	.141	1.143E-02
HXDC	.377	.856	.167	4.214E-02
HPDC	.141	.336	-5.131E-02	.845
OC	-.107	4.487E-02	-2.443E-02	.885
TF	.362	.206	.804	-3.082E-02
PEFA	.519	.322	.508	-1.102E-02
PEFB	.689	.379	.451	-4.104E-02
HXFA	.722	.340	.348	-2.283E-02
HXFB	.746	.457	.401	2.341E-02
HXFC	.665	-.167	-3.077E-02	5.009E-02
HXFD	.784	.454	.243	7.133E-02
HPFA	.760	.460	.238	.132
HPFB	.551	.310	.427	9.554E-02
OF	.178	-.233	9.519E-02	.646

Método de extracción: Análisis de componentes principales.

Método de rotación: Normalización Varimax con Kaiser.

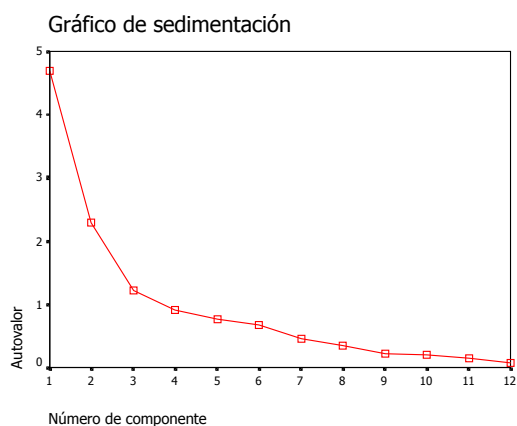
a. La rotación ha convergido en 7 iteraciones.

Gráfico de componentes en espacio rotado



3.- Anàlisi de components principals (ACP) per als nivells de metalls pesants en sòls

Component	Total	Autovalores iniciales		Sumas de las saturaciones		
		% de la varianza	% acumulado	Total I	% de la varianza	% acumulado
1	4.73	39.42	39.42	4.73	39.42	39.42
2	2.11	17.55	56.97	2.11	17.55	56.97
3	1.28	10.69	67.66	1.28	10.69	67.66
4	1.06	8.87	76.53	1.06	8.87	76.53
5	0.64	5.30	81.83			
6	0.57	4.73	86.56			
7	0.47	3.95	90.51			
8	0.39	3.23	93.74			
9	0.35	2.89	96.63			
10	0.22	1.82	98.44			
11	0.14	1.15	99.59			
12	0.05	0.41	100.00			



Matriz de transformación de las componentes

Componente	1	2	3	4
1	.781	.528	.252	.218
2	.058	-.586	.698	.407
3	-.539	.567	.606	-.145
4	-.311	.235	-.287	.875

Método de extracción: Anàlisi de components principals.

Método de rotación: Normalización Varimax con Kaiser.

Matriz de componentes rotados^a

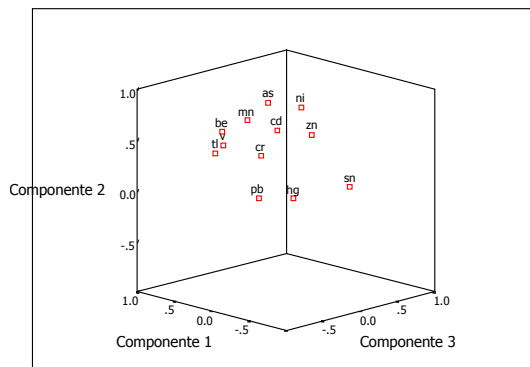
	Componente			
	1	2	3	4
AS	.150	.853	-9.132E-02	7.982E-02
BE	.453	.571	-.412	.127
CD	.634	.376	.518	.115
CR	.533	.198	.205	.609
HG	-3.834E-02	-8.796E-02	6.354E-02	.924
MN	.509	.595	-1.138E-02	-8.215E-02
NI	-5.396E-03	.781	.204	-8.031E-02
PB	.651	-.253	.285	.229
SN	1.496E-03	-.132	.868	3.678E-02
TL	.915	.198	-3.633E-02	1.539E-02
V	.894	.265	5.638E-02	5.144E-03
ZN	.362	.345	.715	.298

Método de extracción: Análisis de componentes principales.

Método de rotación: Normalización Varimax con Kaiser.

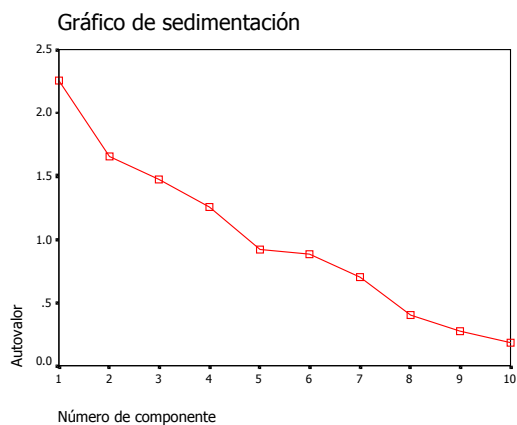
a. La rotación ha convergido en 6 iteraciones.

Gráfico de componentes en espacio rotado



4.- Anàlisi components principals per als nivells de metalls pesants en vegetals

Componente	Autovalores iniciales			Sumas de las saturaciones		
	Total	% de la varianza	% acumulado	Total I	% de la varianza	% acumulado
1	2.25	22.51	22.51	2.25	22.51	22.51
2	1.66	16.58	39.10	1.66	16.58	39.10
3	1.48	14.76	53.86	1.48	14.76	53.86
4	1.25	12.51	66.37	1.25	12.51	66.37
5	0.92	9.21	75.58			
6	0.88	8.84	84.42			
7	0.70	6.99	91.41			
8	0.40	3.99	95.40			
9	0.27	2.74	98.14			
10	0.19	1.86	100.00			



Matriz de transformación de las componentes

Componente	1	2	3	4
1	.616	.522	.262	.528
2	-.343	-.161	.920	.103
3	-.247	.792	.108	-.548
4	.665	-.272	.272	-.641

Método de extracción: Anàlisi de components principals.

Método de rotación: Normalización Varimax con Kaiser.

Matriz de componentes rotados^a

	Componente			
	1	2	3	4
ASV	8.667E-02	.757	9.542E-02	.141
CDV	.862	-.130	.155	-5.315E-02
CRV	.245	.143	-.187	.883
HGV	.212	.401	-.216	-.280
MNV	-.159	.716	5.499E-02	-3.037E-02
NIV	-3.231E-02	-6.786E-02	.325	.781
PBV	.206	.472	.742	1.635E-02
SNV	1.642E-02	-6.909E-02	.861	.120
VV	.441	.389	-.387	.270
ZNV	.757	9.303E-02	-6.455E-04	.151

Método de extracción: Análisis de componentes principales.

Método de rotación: Normalización Varimax con Kaiser.

a. La rotación ha convergido en 8 iteraciones.

Gráfico de componentes en espacio rotado

